

Таким образом, в зависимости от значений параметров в фазовом пространстве может существовать конечных размеров область притяжения предельного цикла автоколебаний с частотой $0,64 \omega$. Вне области притяжения этого предельного цикла устанавливаются регулярные автоколебания с частотой ω , которые существенно зависят от начальных условий.

СПИСОК ЛИТЕРАТУРЫ

[1] Гершуни Г. З., Жуховицкий Е. М. Конвективная устойчивость несжимаемой жидкости. М.: Наука, 1972. [2] Гледзер Е. Б., Должанский Ф. В., Обухов А. М. Системы гидродинамического типа и их применение. М.: Наука, 1981. [3] Арнольд В. И. Дополнительные главы теории обыкновенных дифференциальных уравнений. М.: Наука, 1978.

Поступила в редакцию
16.06.83

ВЕСТН. МОСК. УН-ТА. СЕР. 3. ФИЗИКА. АСТРОНОМИЯ, 1984, т. 25, № 2

УДК 538.56:519.25

ПРОСТРАНСТВЕННАЯ КОГЕРЕНТНОСТЬ ИЗЛУЧЕНИЯ В УСЛОВИЯХ МЕЛКОМАСШТАБНОЙ САМОФОКУСИРОВКИ

С. М. Бабиченко, В. П. Кандидов

(кафедра общей физики и волновых процессов)

Распространение излучения в реальных условиях сопровождается амплитудно-фазовыми искажениями, вызванными неоднородностями диэлектрической проницаемости среды, флуктуациями поля источника, нелинейными эффектами. Основные закономерности развития флуктуаций поля в кубичной нелинейной среде впервые получены в работе [1]. Аналитическое исследование задач нелинейной статистической оптики возможно при достаточно сильных ограничениях на статистику поля и уровень его флуктуаций [2, 3]. Широко используемое замкнутое уравнение для функции взаимной когерентности поля, полученное при расщеплении высших моментов поля, несправедливо в условиях мелкомасштабной самофокусировки, так как статистика поля сильно меняется [4]. При малом уровне флуктуаций применим метод возмущений. Этим методом исследован характер пространственных спектров флуктуаций уровня амплитуды плоской волны в кубичной случайно-неоднородной среде, получены асимптотические выражения для функции взаимной когерентности в двумерной задаче [5]. Наиболее полный численный анализ возможен методом статистических испытаний [6], который в задаче о мелкомасштабной самофокусировке требует больших затрат машинного времени. Поэтому представляет интерес качественное и количественное исследование приближенных уравнений для функций пространственной корреляции светового поля.

1. Система уравнений для первой $\Gamma_1 = \langle \xi(\mathbf{r}_1, z) \xi^*(\mathbf{r}_2, z) \rangle$ и второй $\Gamma_2 = \langle \xi(\mathbf{r}_1, z) \xi(\mathbf{r}_2, z) \rangle$ корреляционных функций поля в приближении параболической теории дифракции получена в работе [7]. Здесь ξ — малое комплексное возмущение плоской волны $E_0(|\xi| < 1, \langle \xi \rangle = 0)$. В случае статистически однородного случайного поля $\xi(\mathbf{r}, z)$ уравнения для Γ_1 и Γ_2 имеют вид

$$i\partial\Gamma_1/\partial z = \Gamma_2^* - \Gamma_2,$$

$$i\partial\Gamma_2/\partial\zeta = \partial^2\Gamma_2/\partial\rho^2 + (2\Gamma_2 + \Gamma_1^* + \Gamma_1),$$

$$\Gamma_i(\zeta=0) = \Gamma_i^0, \quad i = 1, 2.$$

В системе уравнений использованы безразмерные переменные $\zeta = z/z_0$, $\rho = r/a_0$. Масштабы задачи a_0 , z_0 выбраны так, что a_0 ограничивает область плоской волны, содержащую критическую мощность самовоздействия: $a_0 = (k^2\epsilon_2|E_0|^2/4\cdot\epsilon_0)^{-1/2}$, $z_0 = ka_0^2$ — дифракционная длина для масштаба a_0 , совпадающая с длиной развития нелинейности.

Условия в плоскости $\zeta=0$ определяют когерентность источника излучения. Для частично-когерентной волны, рассеянной на амплитудном экране, $\Gamma_1^0 = \Gamma_2^0$; на фазовом $\Gamma_1^0 = -\Gamma_2^0$; для частично-когерентной волны с гауссовской статистикой флуктуаций $\Gamma_1^0 \neq 0$, $\Gamma_2^0 = 0$. Система уравнений для функций Γ_1 , Γ_2 решалась численно методом функций Грина, полученных в спектральном представлении [7].

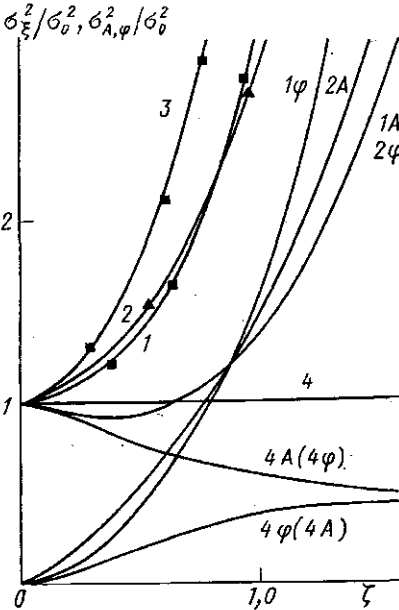


Рис. 1. Нормированная дисперсия флуктуаций поля σ_ζ^2 : $\rho_0 = 0.8$ (1, 2) и 1 (3); нормированная дисперсия флуктуаций амплитуды σ_{2A} (1A, 2A) и фазы $\sigma_{2\varphi}$ (1 φ , 2 φ) в нелинейной среде; кривые 4 (4A, 4 φ) соответствуют линейному распространению

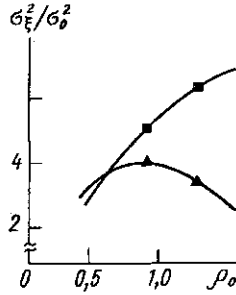


Рис. 2. Зависимость нормированной дисперсии флуктуаций поля σ_ζ^2 от радиуса корреляции начальных флуктуаций ρ_0 при $\zeta=1$

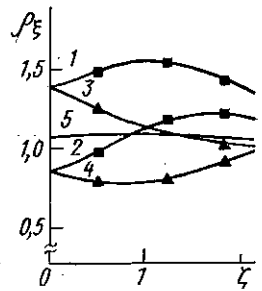


Рис. 3. Поведение радиуса пространственной корреляции флуктуаций в нелинейной среде

2. Анализ полученных результатов показал, что независимо от вида начальных возмущений (амплитудных, фазовых) дисперсия флуктуаций светового поля σ_ζ^2 монотонно нарастает с расстоянием ζ в условиях самофокусировки (рис. 1). Нарастание σ_ζ^2 обусловлено перекачкой энергии из регулярной части световой волны E_0 во флуктуирующую за счет нелинейности. На рис. 1 и далее результаты для фазовой начальной модуляции волны помечены треугольниками, для амплитудной — квадратами. Скорость нарастания возмущений поля на начальном участке распространения ($\zeta < 1$) определяется радиусом пространственной корреляции падающего излучения ρ_0 . Предельные переходы $\rho_0 \rightarrow 0$ соответствуют линейному распространению, когда дисперсия поля σ_ζ^2 постоянна (см. рис. 1, 4). При $\rho_0 < 1$ дифракционные эффекты преобладают над нелинейными на расстояниях $\zeta < 1$, при этом происходит практически линейное преобразование амплитудных

и фазовых флуктуаций. В случае амплитудной модуляции падающей волны дисперсия флуктуаций амплитуды σ_A^2 убывает и одновременно нарастает дисперсия флуктуаций фазы σ_φ^2 . С увеличением ξ влияние нелинейности накапливается, и в результате АМ-ФМ конверсии начинается рост σ_A^2 (см. рис. 1 (I_A, I_φ)). В дальнейшем при развитой нелинейности $\sigma_A^2, \sigma_\varphi^2$ экспоненциально растут. При фазовой модуляции падающей волны по характеру изменения $\sigma_A^2, \sigma_\varphi^2$ меняются местами по сравнению с предыдущим случаем. Однако при $\xi < 1$ дисперсия поля σ_ξ^2 в случае фазовых начальных флуктуаций нарастает несколько быстрее (см. рис. 1, 1, 2). Это связано с тем, что при амплитудной начальной модуляции проявляется конкурирующий характер формирования фазы за счет дифракции и нелинейности (см. рис. 1, $I_{A,\varphi}, 2_{A,\varphi}$).

Роль масштабов пространственной корреляции флуктуаций при $\xi = 0$ определяется спектральной избирательностью нелинейной среды. При $\rho_0 \ll 1$ спектр возмущений лежит выше полосы пространственных частот усиления среды и дисперсия σ_ξ^2 мала (рис. 2). В случае амплитудной модуляции при $\rho_0 > 2$ практически весь пространственный спектр флуктуаций попадает в полосу усиления, и с дальнейшим ростом ρ_0 зависимость $\sigma_\xi^2(\rho_0)$ насыщается. При фазовой начальной модуляции увеличение масштаба ρ_0 приводит к замедлению преобразования фазовых флуктуаций в амплитудные за счет дифракции. В силу этого ослабевают влияние АМ-ФМ конверсии и σ_ξ^2 падает. Поведение радиуса корреляции возмущений ρ_ξ в нелинейной среде представлено на рис. 3. При $\xi < 1$ развитие возмущений сопровождается увеличением радиуса корреляции в случае амплитудной модуляции (см. рис. 3, 1, 2) и декорреляцией излучения при начальных фазовых флуктуациях (см. рис. 3, 3, 4). Характер изменения ρ_ξ связан с одновременным проявлением нелинейных и дифракционных эффектов и существенно зависит от взаимной корреляции $B_{A\varphi}$ амплитуды и фазы падающей волны. Анализ результатов показал, что при $\xi \ll 1$ знак $d\rho_\xi/d\xi$ определяется знаком $\partial B_{A\varphi}/\partial \xi$ падающей волны при распространении в линейной среде. Для гауссовской статистики флуктуаций ($B_{A\varphi} = 0$) при $\xi < 1$ радиус корреляции поля практически не меняется. С увеличением расстояния ξ радиус корреляции стремится к характерному масштабу ($\rho_\xi \rightarrow 1$). Это соответствует образованию нитевидной структуры в плоской волне. Как отмечалось в [7], при этом на профиле модуля степени когерентности поля $|\gamma(\rho)|$ появляется дополнительный максимум, положение которого не меняется при распространении волны. Координата максимума определяет область плоской волны, из которой перекачивается энергия в нить.

СПИСОК ЛИТЕРАТУРЫ

- [1] Беспалов В. И., Таланов В. И. Письма в ЖЭТФ, 1966, 3, с. 471.
 [2] Агровский Б. С. и др. Квант. электроника, 1980, 7, с. 59. [3] Пасманник Г. А. ЖЭТФ, 1974, 66, с. 490. [4] Алешкевич В. А., Лебедев С. С., Матвеев А. Н. В кн.: Тез. докл. XI Всесоюз. конф. по когерент. и нелинейн. оптике. Ереван, 1982, с. 152. [5] Беспалов В. И., Литвак А. Г., Таланов В. И. В кн.: Нелинейная оптика. Новосибирск: Наука, 1968, с. 428. [6] Кандидов В. П., Леденев В. И. Квант. электроника, 1981, 8, с. 873. [7] Бабиченко С. М., Кандидов В. П. В кн.: Тез. докл. XI Всесоюз. конф. по когерент. и нелинейн. оптике. Ереван, 1982, с. 136.

Поступила в редакцию
04.07.83